

© 1988 ISIJ

技術報告

高速スラブ連鉄時における鋳型鋳片間の摩擦力
低減と拘束性ブレークアウト防止

糸山誓司*・鷲尾 勝^{*2}・西川 廣^{*2}
山中啓充^{*2}・田中修二^{*2}・藤井徹也^{*3}

Reduction of Friction Force in Mold and Prevention of Sticking
Type Breakout for High Speed Continuous Casting of Slabs

Seiji ITOYAMA, Masaru WASHIO, Hiroshi NISHIKAWA,
Hiromitsu YAMANAKA, Syuji TANAKA and Tetsuya FUJII

Synopsis :

Friction force between mold and slab was measured by load cell in order to optimize mold powder and oscillation conditions for No. 3 continuous caster at Chiba Works. Furthermore, a method for prediction and prevention of the breakout was also studied to minimize reduction of productivity when a countermeasure was taken for avoiding the breakout. Results obtained are as follows :

- 1) Adoption of mold powder with low viscosity and reduction of negative stripping ratio made it possible to cast low carbon aluminum killed steel stably at 2.0 m/min by decreasing friction force less than 200 gf/cm².
- 2) Effect of the viscosity of mold powder and negative stripping ratio on the friction force can be reasonably explained by considering viscous friction.
- 3) The breakout can be successfully predicted by thermocouples set in parallel to meniscus in mold copper plate.
- 4) When the breakout sensor alarms, the casting speed is instantly lowered down to the predetermined allowable level to avoid the breakout.

Key words: continuous casting; friction force; mold powder; mold oscillation; breakout; mold temperature; prediction; prevention.

1. 緒 言

連続鋳造において高温鋳片の製造と直送圧延プロセスを安定化させるためには、高速鋳造技術が重要となる。高速鋳造技術を確立するにあたつて最も懸念される問題点は、鋳型内鋳片凝固殻の薄肉化による凝固殻強度の低下および鋳片と鋳型間の潤滑不良による摩擦力の増大に起因する拘束性ブレークアウト（以後、B.O.と略す）の発生である^{1,2)}。鋳片と鋳型間の摩擦力は、鋳型オッショレーション条件およびモールドパウダー物性等に依存するといわれている³⁾。このような観点から大宮ら⁴⁾に

より鋳型と鋳片間の摩擦力をロードセルを用いて測定する試みがなされてきた。

本報告では千葉第3連鉄工場において鋳片と鋳型間の摩擦力をロードセルを用いて測定し、この摩擦力に及ぼすモールドパウダー物性とオッショレーション条件の影響について調査を行い、さらに拘束性 B.O. の発生に及ぼす鋳片と鋳型間の潤滑状態の影響について検討を加えた。

一方、拘束性 B.O. の予知・防止については、常岡ら⁵⁾や村瀬ら⁶⁾の鋳型銅板測温方式、梨和ら⁷⁾のロードセル方式、さらには加速度計を用いた中重ら⁸⁾の報告が

昭和 61 年 10 月本会講演大会にて発表 昭和 62 年 10 月 21 日受付 (Received Oct. 21, 1987)

* 川崎製鉄(株)鉄鋼研究所 (Iron & Steel Research Laboratories, Kawasaki Steel Corp., 1 Kawasaki-cho Chiba 260)

*2 川崎製鉄(株)千葉製鉄所 (Chiba Works, Kawasaki Steel Corp.)

*3 川崎製鉄(株)鉄鋼研究所 工博 (Iron & Steel Research Laboratories, Kawasaki Steel Corp.)

ある。また、拘束性 B.O の発生が予知された場合、減速によって B.O を回避できるという椿原ら⁹⁾の報告がある。しかし、高速鋳造時の急激な減速や鋳造の停止は、鋳片表面品質や生産性、さらには鋳造制御の観点から避ける必要があるので、拘束性 B.O を回避するための鋳造速度の減速量を最小とすることは意義がある。もちろん、不必要的減速は操業を攪乱するので拘束性 B.O 予知の信頼性を高める必要がある。本報告では、この点を考慮して、鋳型銅板測定法による拘束性 B.O の予知とそれに引き続く減速による回避方法についても検討した。

2. 実験方法

2.1 摩擦力測定の条件と原理

鋳片と鋳型間の摩擦力測定については、すでに報告されている方法を用いた⁴⁾¹⁰⁾。すなわち Fig. 1¹⁰⁾に示すように、鋳型オッシャレーションテーブルの長辺の両側2本のサポートピンをピン式ロードセルに変えて取りつけ、その振動抗力を測定することにより摩擦力を求めた。モールドパウダーは、Table 1 に示す4種の組成のものを使用した。ここでパウダーAは、1300°Cでの粘度が0.9 poise のものであり従来より工程的に使用されているパウダーである。実験パウダーとしてB~Dのパウダーを使用した。パウダーBについては、粘度を1.3

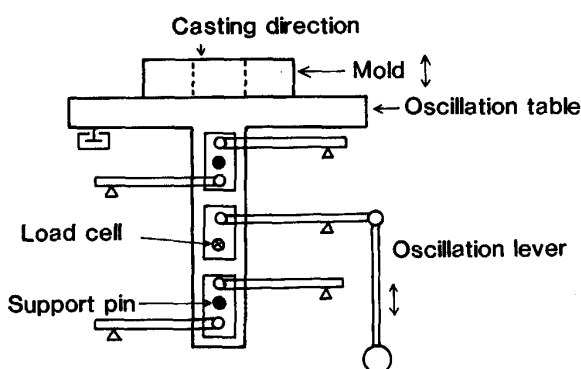


Fig. 1. Schematic view of oscillation generator for No. 3 continuous casting machine at Chiba Works.

Table 1. Chemical composition of mold powder used in the experiment.

Powder	CaO/SiO ₂	Al ₂ O ₃ (%)	F (%)	Li (%)	Ba (%)	Mg (%)	Viscosity (poise at 1300°C)	Softening point (°C)
A	1.05	6.4	8.8	0	4.8	0	0.9	960
B	0.85	6.0	8.8	0.5	7.0	0	1.3	890
C	0.95	5.7	8.8	0.5	0	2.8	0.8	910
D	0.95	5.1	8.8	0.5	0	4.3	0.9	910

Table 2. Casting conditions for experiment.

Cast steel	Low carbon aluminum killed steel (SPCC, SPCE)
Mold oscillation	Stroke, S=8 mm Frequency, f=100~150 cpm Negative stripping ratio, N=5~30%
Casting speed	V _c =1.65~2.04 m/min 230×900~1100 mm ²

poise とし軟化点を 890°C とした。パウダー C は、粘度を 0.8 poise とし MgO を Mg 分で 2.8% 添加した。さらにパウダー D は、MgO を Mg 分で 4.3% 添加した。

本実験での操業条件を Table 2 に示す。本連鉄機は、垂直漸次曲げ漸次矯正型スラブ連鉄機であり、鋳型寸法は、230 mm×900~1100 mm である。またオッシャレーション制御は、ネガティブストリップ速度率(以後、ネガティブストリップ率と称す)一定制御方式であり一般に次式で示される。

$$V_c = 2fS / (1 + N / 100) \dots \dots \dots (1)$$

S: オッシャレーションの全振幅

f: 鋳型振動数

N: ネガティブストリップ率

V_c: 鋳造速度

振動抗力の測定は、ネガティブストリップ率 N が 5~30%，オッシャレーションの全振幅 S を 7.8 mm，また鋳造速度 V_c を 1.65~2.04 m/min の範囲で実施した。

高速鋳造において安定な潤滑を得るために、使用されるモールドパウダーの粘度が重要な因子と推定される。そこで、それぞれ原パウダー(使用前のパウダー)を 1300°C で溶解し白金球引き上げ法¹¹⁾により粘度測定を行った。また、実操業で使用中のこれらのパウダーについてモールド内よりサンプリングしたスラグの 1300°C における粘度を同様の方法で測定した。さらに、これらのパウダーの Al₂O₃ 濃度依存性を求めるために各パウダーに 0~15 mass% の Al₂O₃ を添加して 1300°C の粘度を求めた。

鋳型振動抗力から摩擦力を演算する方法は、以下のようにに行つた。

一般に、鋳型振動による抗力は、次式で示される¹⁰⁾。

$$P(t) = M\ddot{X} + C\dot{X} + kX + F'(t) \dots \dots \dots (2)$$

$$X = (S/2)\sin(2\pi ft) \dots \dots \dots (3)$$

P(t): 鋳型振動による抗力

M: モールド質量

C: 減衰係数

k: バネ定数

F'(t): 鋳型と鋳片間の総摩擦力

X: 鋳型変位 t: 時間

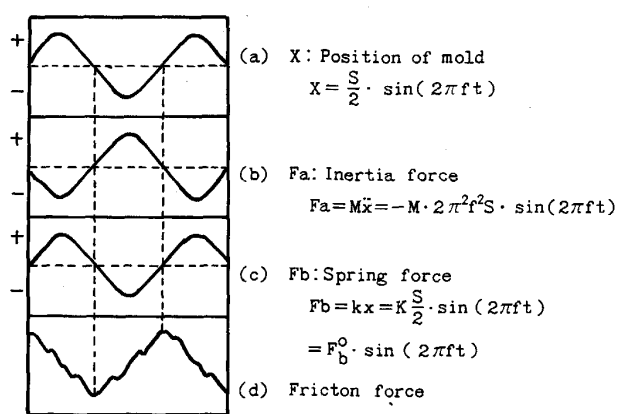


Fig. 2. Relation between friction force and mold displacement.

ここで、空運転時の場合は、 $F(t)=0$ であり、 $P(t)$ とモールドの振動周期との間に位相のずれが見られないことから $C=0$ とした。 $M\ddot{X}$ は慣性力 F_A を示し、 kX はバネ力 F_B を示しており、次式で表される。

$$F_A = M\ddot{X} = -M \cdot 2\pi^2 f^2 S \cdot \sin(2\pi ft) \dots (4)$$

$$F_B = kX = k \cdot S / 2 \cdot \sin(2\pi ft) \dots \dots \dots (5)$$

空運転時の測定結果、および $M=28\text{t}$ を(4)式に代入すると、 $k=3.2\text{tf/cm}$ が得られる。ここで(4)、(5)式を(2)式に代入し $C=0$ とおくと、鋳片と鋳型間の摩擦力は、次式で求められる。

$$F'(t) = P(t) + M \cdot 2\pi^2 f^2 S \cdot \sin(2\pi ft) - k \cdot S / 2 \cdot \sin(2\pi ft) \dots \dots \dots (6)$$

(6)式は、 $t=n/f$ ($n=0, 1, 2, \dots$) の場合に最大値を示し $t=(2n+1)/2f$ の場合に最小値を示すことがわかる。これらの関係を模式的に Fig. 2 に示す。従つて、振動抗力を測定しその最大値より最大の摩擦力が求められる。そこで本報告では、この振動抗力の最大値と最小値との差を摩擦力と定義して以下の解析に用いた。

2・2 鋳型銅板測温方法と拘束性 B.O 予知原理

拘束性 B.O の予知は、B.O 発生過程¹⁾において、V 字形をした凝固殻の破断部が縦横に成長、伝播しながら鋳型下端まで下降する際、破断部が通過する位置に対応した複数の測温部で急激な温度上昇とそれに引き続く下降現象が検出されることを利用している。

予知方式は、これまで紹介されている鋳込方向(縦方向)での上下段温度の逆転現象を利用する方法¹²⁾と異なり、破断部の幅方向(横方向)への伝播を時間遅れを伴う温度上昇挙動によって判断する⁶⁾ものである。

測温方向(横、縦)の相違による予知への影響は、破断部が横と縦に伝播する時間に現われる。横、縦方向の測温間隔を、それぞれ W_x 、 W_z とすると、横と縦方向へ

の伝播時間 t_x 、 t_z は、次式で表される。

$$t_x = W_x \tan \beta / \alpha V_c \dots \dots \dots (7)$$

$$t_z = W_z / \alpha V_c \dots \dots \dots (8)$$

ここで、 β : 破断線の水平線となす角度、 α : 鋳込速度 V_c に対する破断線の下降速度の比。

B.O した凝固殻の β 値は、 V_c の増加にともない大きくなる傾向を示し、 $V_c=0.7\sim1.6\text{m/min}$ で $30^\circ\sim53^\circ$ であった。しかし、実験的に求めた t_x と t_z から得られる伝播中の β 値は、 V_c や鋳片幅の影響がほとんどなく、 $20^\circ\sim45^\circ$ の値を示したので $\beta=20^\circ\sim45^\circ$ と与え、また α を $0.6\sim0.9^{13)}$ とすると、測温間隔が等しい場合は、(9)式が得られる。

$$t_x \leq t_z \dots \dots \dots (9)$$

よつて、横方向で測温する方式が、シェル破断現象を、より早く検知できる可能性が大きい。

高速連鋳の場合、鋳型内での凝固殻の滞留時間はより短くなるため、B.O を予知してから B.O するまでの猶予時間も短くなる。従つて、少しでも早くシェル破断現象を捉えることが B.O を回避する上で重要となる。以上の点を考慮して、横方向での測温方式を採用している。

測温は、銅板とバックアッププレート(水箱)を固定しているスタッズボルトの軸芯を中空化し、その穴を通じた着脱可能なシース型熱電対をスプリングにより銅板背面に押付けて行つた。測温のための銅板の溝加工は行わず、測温深さは $22\sim33\text{mm}$ である。熱電対先端には水封処理を施して、冷却水が浸入しないように工夫し、測温を行つた。

このため、測温位置はスタッズボルト位置に制限されるが、B.O 予知から B.O 回避のための操業アクションが十分余裕を持つて行える時間 t_B が B.O 予知から B.O までの最小時間よりも短くなるように、(10)式から測温位置 l 及び W_x を決めた。

$$t_B < l_c / \alpha V_c - t_{cr} \dots \dots \dots (10)$$

$$l_c = L - l - \frac{n}{2} W_x \tan \beta$$

ここで、 l_c : 破断部が n か所の測温点を通過した位置から鋳型下端までの最小距離

L : 鋳型長さ

l : 測温点の鋳型上端からの距離

n : 拘束性 B.O 予知判断を下すのに必要な最小の測温点数

t_{cr} : n か所での温度変化検出から B.O 警報を出すまでの予知判定時間

3. 実験結果

3・1 摩擦力に及ぼす鋳造速度の影響

Fig. 3 に、モールドパウダー B, C および D を用い、かつネガティブストリップ率を 10% と 5% の条件で鋳造した際の鋳造速度と摩擦力との関係を示す。Fig. 3 から、鋳込速度の増加に伴い摩擦力が増加することがわかる。またそれぞれの条件で比較すると、パウダー B を用いてネガティブストリップ率が 10% の条件が同一鋳造速度で最も摩擦力が大きく、次いでパウダー C でネガティブストリップ率が 10% の場合、さらにパウダー C でネガティブストリップ率が 5%，パウダー D でネガティブストリップ率が 5% の順に摩擦力が低くなつていることがわかる。

3・2 摩擦力に及ぼすネガティブストリップ率の影響

鋳造速度が 1.75 m/min と一定の条件でパウダー A, B および C を用いた場合のネガティブストリップ率と摩擦力との関係を Fig. 4 に示す。これよりネガティブストリップ率が低くなるに従つて摩擦力が低下すること

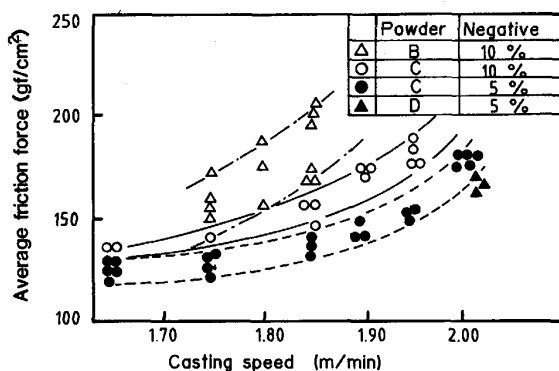


Fig. 3. Effect of casting speed on friction force in various mold powders and negative stripping ratio.

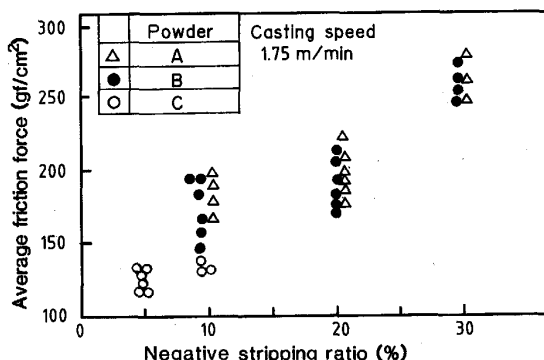


Fig. 4. Effect of negative stripping ratio on friction force in various mold powders at 1.75 m/min of casting speed.

がわかる。また、同一ネガティブストリップ率で比較するとパウダーの粘度が低いパウダー C を用いた場合が最も摩擦力が少ないことがわかる。

3・3 摩擦力に及ぼすモールドパウダー粘度の影響

鋳造速度が 1.75 m/min と一定の条件でパウダー A, B および C を用いた場合のパウダーの粘度と摩擦力との関係を Fig. 5 に示す。ここでパウダーの粘度は、そのパウダーの使用中にモールド内よりサンプリングしたモールドスラグの 1300°C での粘度とした。図より、摩擦力はモールドパウダーの粘度で整理できることがわかる。また同一粘度においても、ネガティブストリップ率が 10% と 30% では、30% のほうが摩擦力が大きくなることがわかる。これは、Fig. 4 の結果からも容易に推定できる。Fig. 5 において、パウダー B と C を比較す

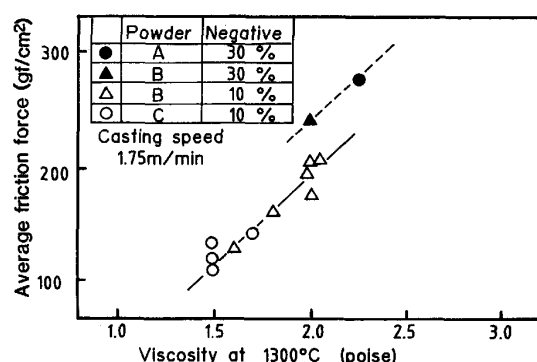


Fig. 5. Effect of viscosity of mold slag on friction force in various mold powders and negative stripping ratio at 1.75 m/min of casting speed.

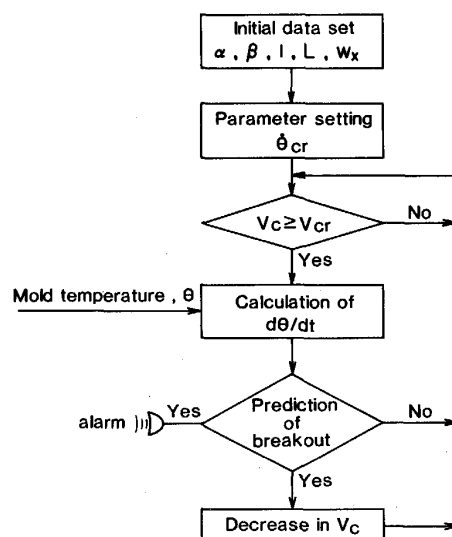


Fig. 6. Flow chart of prediction and prevention system of sticking type breakout for No. 3 continuous casting machine at Chiba Works.

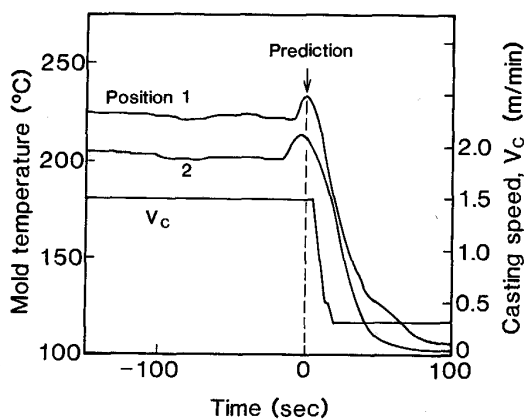


Fig. 7. Temperature changes and casting speed at prediction and prevention of sticking type breakout.

るとパウダーCの粘度は、安定して低領域に位置しているが、パウダーBについては、1.5~2.3 poiseまでばらついている。この理由については、後述する。

3・4 拘束性 B.O 予知及び回避結果

Fig. 6 は、千葉第3連鋳機における拘束性 B.O 予知・回避システムの流れを示す。B.O 予知に必要な基本的なパラメーターは温度変化速度の臨界値のみであり、この値より大きい温度変化速度が検出されればシェルの拘束と破断が生じたものと判断する。この臨界値は、過去の拘束性 B.O 時の銅板温度変化速度の測定値に基づいて決めた。Fig. 7 は B.O を予知・回避した時の鋳型銅板温度と铸造速度の変化を示す。铸造速度を減速させることによって、拘束性 B.O を回避できることが確認できた。誤報発生頻度は2ストランド当たり2回/月以下であった。誤報は、铸造速度の増加時や急激な湯面変動時に発生するものの、温度変動の激しい中炭素鋼(C/0.08~0.14%)においての誤報の増加は見られず、B.O 見逃し率は0%であった。

4. 考察

4・1 最適パウダー組成

すでに述べたように、モールドスラグの粘度が低下するに従って摩擦力は低下する傾向を示す。しかし、鋳込中のパウダーの粘度は、原パウダーと比較して、0.5~0.8 poise程度増加しており、鋳込中のパウダーの粘度を低下させることが重要である。使用中にパウダーの粘度が増加する原因は、主としてパウダー中の Al_2O_3 の濃度上昇である。そこで、本実験で使用したパウダー粘度の Al_2O_3 濃度依存性を測定し Fig. 8 に示した。図より、原パウダーの粘度は0.8~1.3 poiseの範囲である

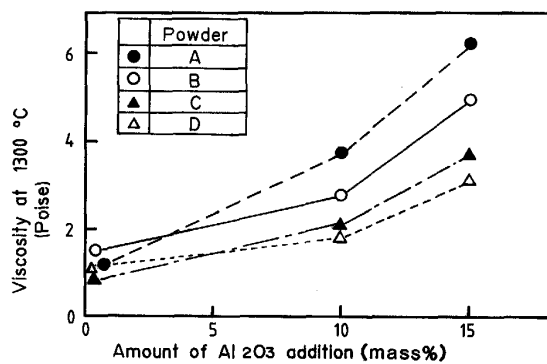


Fig. 8. Influence of amount of Al_2O_3 addition on viscosity of mold slag.

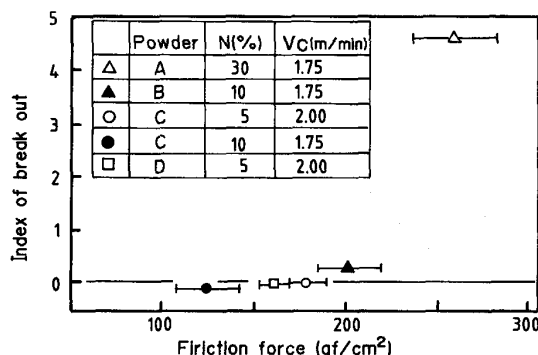


Fig. 9. Influence of friction force on frequency of sticking type breakout.

が、 Al_2O_3 濃度の増加につれていづれのパウダーも粘度が急激に増大し、パウダー間の粘度の差も顕著となる。この結果、Fig. 8 に示すような Al_2O_3 濃度の増大による粘度の上昇が少ないパウダーC、あるいは、パウダーDが最適なパウダーと考えられる。Fig. 5 に示したように、パウダーBがパウダーCと比較して粘度のばらつきが大きい理由としてパウダーの粘度の Al_2O_3 濃度依存性の差によるものと推定できる。

4・2 拘束性 B.O と摩擦力の関係

Fig. 9 に、摩擦力と拘束性 B.O 発生比率との関係を示す。ここで摩擦力の値は、300~500チャージの測定結果の平均値とその間での最大および最小値を示す。図より B.O の発生頻度は摩擦力で整理でき、平均の摩擦力が 200 gf/cm²以上になると B.O の発生頻度が急激に増加することがわかる。メニスカス直下の摩擦力が凝固殻の高温引張強度を上廻ると凝固殻の破断が生ずるという考え方²⁾を裏付ける現象といえよう。本実験結果から、パウダーCあるいは、パウダーDを使用しあかつネガティブストリップ率を5%にすることにより B.O を発生させることなく安定して 2.0 m/min での铸造が可能であ

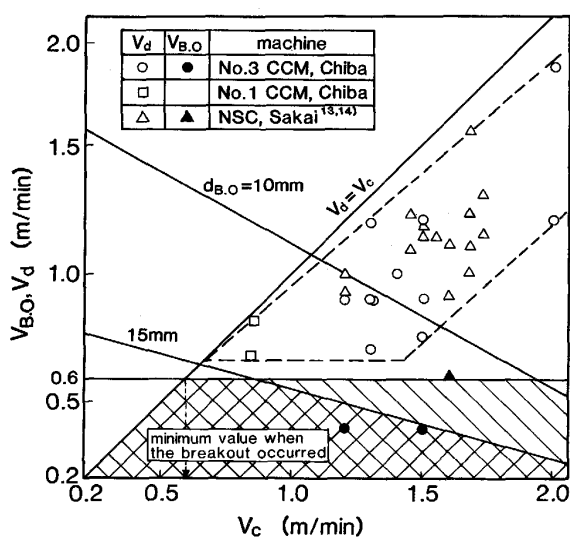


Fig. 11. Relations among casting speed (V_c) at the breakout prediction, descending speed (V_d) of perimeter of stuck shell, and casting speed ($V_{B.O}$, hatched part) after the decrease in casting speed for preventing the breakout.

- (i) 低速铸造のためシェルの引張強度が铸型と铸片間の摩擦力よりも大きいのでシェル破断が起こらない。
- (ii) もし、シェルの拘束が発生しても、 t_N が大きいため(16), (17)式が成立して容易に拘束が解放される条件にある。

一方、拘束シェル破断線の下降速度 V_d と铸造速度 V_c の関係は、Fig. 11 の破断部のように表される。図には従来の公表データ¹³⁾も示した。もし、前記(i), (ii)の理由で、ブレークアウトの発生しない上限の臨界铸造速度が存在すると仮定すると、この値は $V_d = V_c$ になる値に相当し、それ以下ではシェルの拘束は発生しないと考えられる。図中からこの臨界铸造速度を推定すると約 0.7 m/min となる。この値は、前述の拘束性 $B.O$ の発生する最低铸造速度 0.6 m/min に近く、解放された拘束シェルを引き抜くための最大値と見直せよう。

以上は、これまでに得られたデータをもとに推定したものであり、臨界铸造速度は鋼の高温強度や铸型と铸片間の摩擦力にも依存するものと考えられる。

(3) 解放された拘束シェル破断部の铸型下端での $B.O$ 防止条件

$B.O$ を予知し減速する時点での、V形の拘束シェル破断部の先端から铸型下端までの距離 l_B は、(18)式で与えられる。ただし、減速は直ちに行われるものとする。

$$l_B = l_c - \alpha V_c \cdot t_d \quad (18)$$

ここで、 t_d : 温度変化検知から減速開始までの時間。

また、铸型下端での $B.O$ 回避に必要なシェル厚を $d_{B.O}$ とすると、

$$d_{B.O} < k_s \left[\frac{l_B}{V_{B.O}} \cdot t_1 \right]^{0.5} \quad (19)$$

ここで、 k_s : 铸型内凝固速度定数、 $V_{B.O}$: 減速後の铸造速度、 t_1 : 減速して、拘束シェルが解放されるまでの時間。

(18), (19)式より、 $B.O$ 回避に必要な $V_{B.O}$ は(20)式となる。

$$V_{B.O} < \frac{l_B}{\left\{ \left[\frac{d_{B.O}}{k_s} \right]^2 + t_1 \right\}} \quad (20)$$

Fig. 11 には、(20)式を用いて $d_{B.O}$ をパラメーターに計算した $V_{B.O}$ と減速前の V_c の関係を示す。ただし、 $k_s = 20 \text{ mm} \cdot \text{min}^{-0.5}$, $t_1 = 0 \text{ s}$, $\alpha = 0.7$, $\beta = 35^\circ$ とした。 $d_{B.O}$ は、铸型下端でバルジングしない条件として求めればよい。ここでは、 $d_{B.O}$ は V_c によらず一定として与えた。

(4) 拘束性 $B.O$ 回避条件の推定

以上より、 $B.O$ 回避に必要な減速後の铸造速度 $V_{B.O}$ は、解放されたシェルの引抜速度と解放シェルの破断部が铸型下端で $B.O$ しない引抜速度のいづれかの最小値となる。椿原ら⁹⁾は、 $V_{B.O}$ を経験的に(21)式で与えている。

$$\pi f V_{B.O} / 3600 \left\{ \frac{\pi}{2} - \sin^{-1} \left(\frac{V_{B.O}}{\pi f S} \right) \right\} < 4.5 \times 10^{-2} \quad (21)$$

(21)式は、 $V_{B.O}$ でのネガティブ時間 t_N を表す(22)式を用いると(23)式に変形でき、 $B.O$ 回避には t_N が関係していることを示唆する。

$$t_N = \frac{1}{\pi f} \left\{ \frac{\pi}{2} - \sin^{-1} \left(\frac{V_{B.O}}{\pi f S} \right) \right\} \quad (22)$$

$$V_{B.O} < 162 \cdot t_N \quad (23)$$

一方、(1)式で V_c を $V_{B.O}$ とし、(21)式から f を消去すると、(24)式となり、 $V_{B.O}$ が簡単に求まる。

$$V_{B.O} < \left\{ \frac{324 S \left[\frac{\pi}{2} - \sin^{-1} \left(\frac{2}{\pi(1+N/100)} \right) \right]}{\pi(1+N/100)} \right\}^{0.5} \quad (24)$$

(24)式から $V_{B.O}$ を求めると千葉 3CC の場合 ($S = 7.8 \text{ mm}$, $N = 5 \sim 30\%$), 0.81 m/min 以下となり、この値は、前述の拘束性 $B.O$ が発生しない臨界铸造速度の $0.6 \sim 0.7 \text{ m/min}$ に近い。

Fig. 11 には、 $B.O$ 回避に必要な前述の条件(2), (3)を満足する铸造速度の範囲を斜線部で示す。ただし、条

件(2)を満足する鋳造速度は、 0.6 m/min とした。なお、図中には拘束性 $B.O$ を回避した時のデータ¹⁴⁾も示した。 $V_{B.O}$ は、 $d_{B.O}$ が薄い場合(10 mm)は、条件(2)、(3)によって制限される。一方、 $d_{B.O}$ が厚い場合(15 mm)には、条件(3)のみでほぼ制限されることになる。

これにより、 $B.O$ 予知後の $B.O$ 回避に必要な減速後の鋳造速度 $V_{B.O}$ は、減速前の鋳造速度によって変化させる必要のあることが推定される。つまり、 V_c が大きくなるほど $V_{B.O}$ を小さくする必要があり、高速鋳造の場合、確実に $B.O$ を回避するためには特に(18)式の l_B を大きくするよう測温位置を工夫する必要がある。

千葉第3連鉄においては、以上のような考え方で、拘束性 $B.O$ を回避している。

5. 結 言

高速連鉄操業の安定化に必要な鋳型と鋳片間の摩擦力低減のため、ロードセルを利用して摩擦力に及ぼすモールドパウダー粘度及び鋳型振動条件の影響を鋳造速度が $1.65\sim2.04 \text{ m/min}$ の範囲で調査した。一方、高速鋳造時の拘束性ブレークアウト($B.O$)の発生を回避するため、鋳型測温方式による予知・回避方法を検討した。その結果、以下のことが明らかになつた。

1) 鋳型と鋳片間の摩擦力は、低粘度モールドパウダーの使用とネガティブストリップ率を減少する鋳型振動条件の採用によって減少する。この摩擦力の挙動は、液体摩擦力を考慮することにより理論的に説明できる。

2) 摩擦力が 200 gf/cm^2 以上になると、低炭Alキルド鋼の場合、拘束性 $B.O$ 発生頻度が急増するが、ネガティブストリップ率を低下し、低粘度モールドパウダーを用いることによって、安定して 2.0 m/min での

鋳造が可能である。

3) 鋳型測温方式による拘束性 $B.O$ の予知は、鋳型幅方向での多点測温により可能である。

4) 拘束性 $B.O$ の予知後、鋳込速度を減少することによって $B.O$ を回避する際の最小の減速量を決定するための考え方を示した。これより $B.O$ 予知後の鋳造速度に応じて減速量を変える必要のあることが推定された。

文 献

- 1) 糸山誓司, 堀生泰弘, 反町健一, 川原田昭, 矢部直: 鉄と鋼, **68** (1982), p. 784
- 2) 水上秀明, 川上公成, 北川融, 鈴木幹雄, 内田繁孝, 小松喜美: 鉄と鋼, **72** (1986), p. 1862
- 3) 水上秀昭, 北川融, 川上公成: 鉄と鋼, **70** (1984), S 151
- 4) 大宮茂, 中戸參, 堀生泰弘, 江見俊彦, 浜上和久, 馬田一, 福原涉: 鉄と鋼, **68** (1982), S 926
- 5) 常岡聰, 須藤有務, 山本利樹, 桐生幸雄, 斎藤昭光: 鉄と鋼, **67** (1981), S 155
- 6) 村瀬文夫, 上田徹雄, 大西正之, 大岩美貴, 八百升, 永井潤: 鉄と鋼, **67** (1981), S 910
- 7) 梨和甫, 吉田圭治, 友野宏, 木村隆, 辻田進: 鉄と鋼, **66** (1980), S 856
- 8) 中重文隆, 松永滋, 中川卓夫, 上杉考興: 日新製鋼技報 (1985) 53, p. 58
- 9) 椿原治, 藤本紘一, 松下昭, 大橋渡, 庄司武志: 鉄と鋼, **70** (1984), S 206
- 10) H. NAKATO, S. OMIYA, Y. HABU, T. EMI, K. HAMAGAMI and T. KOSHIKAWA: J. Metals, **36** (1984), p. 44
- 11) 溶鉄・溶滓の物性値便覧(日本鉄鋼協会編)(1972), p. 36
- 12) 新日本製鉄(株) (私信) 1981年3月
- 13) 加藤正彦, 大橋渡, 松下昭, 天満雅美, 庄司武志: 鉄と鋼, **71** (1985), S 164
- 14) A. TSUNEOKA, W. OHASHI, S. ISHITOBI, T. KATAOKA and M. TENMA: 68th Steelmaking Conference (1985), p. 3